
МЕХАНИКА МАШИН

УДК 534.1; 539.3.

**ВЛИЯНИЕ ПРИСОЕДИНЕННОЙ МАССЫ
ТРАНСПОРТИРУЕМОЙ ГАЗОЖИДКОСТНОЙ СРЕДЫ
НА ПРОСТРАНСТВЕННЫЕ КОЛЕБАНИЯ ТРУБОПРОВОДА
С ВИБРИРУЮЩИМИ ОПОРАМИ**

© 2025 г. М. М. Шакирьянов^{1,*}, А. А. Юлмухаметов¹

¹*Институт механики им. Р. Р. Мавлютова УФИЦ РАН, Уфа, Россия*

**e-mail: shakmar9@mail.ru*

Поступила в редакцию 20.05.2024 г.

После доработки 15.10.2024 г.

Принята к публикации 20.10.2024 г.

Исследованы пространственные колебания трубопровода с вибрирующими опорами. По трубопроводу транспортируется газожидкостная среда кольцевой структурной формы течения. Учитывается перетекание частиц газожидкостной смеси в поперечных сечениях ускоренно движущегося трубопровода. Дан сравнительный анализ результатов вычислений, полученных из аналитического решения линеаризованных и численного моделирования нелинейных уравнений установившихся изгибо-вращательных колебаний трубы. Показано влияние внутренней присоединенной массы транспортируемого продукта на величины собственных частот первой формы изгибных и угловых колебаний трубопровода.

Ключевые слова: трубопровод, газожидкостная среда, постоянное давление, присоединенная масса, вибрации опор, пространственные колебания

DOI: 10.31857/S0235711925010037, **EDN:** EQRGEO

Трубопроводы широко применяются в оборудовании энергетики, нефтехимии, в аэрокосмической технике и многих других машинах и аппаратах. Основная функция трубопроводов — транспортировка жидких и газообразных сплошных сред. Особенность их эксплуатации состоит в том, что они испытывают кроме силы веса динамические растягивающую, сжимающую и изгибную нагрузки, давление сред на обе поверхности. Колебания упругих тонкостенных оболочек и труб, контактирующих с жидкостью и газом, изучались в [1]. Общие вопросы механики гибких трубопроводов и шлангов рассматривались в [2]. Большое внимание уделялось надежной, безопасной и бесшумной работе трубопроводов в [3, 4]. Проблеме динамического поведения упругих тонкостенных труб, транспортирующих жидкые или газообразные сплошные среды, посвящено большое количество работ. Обширный обзор литературы по данной теме приведен, например, в [5]. К последнему также можно добавить обзор [6] за 2020–2022 гг. Здесь ограничимся кратким обзором исследований по влиянию окружающей и транспортируемой сред на колебания трубопровода. В [7] изучено влияние малой сосредоточенной массы на частоты и формы свободных изгибных колебаний круговой цилиндрической оболочки. Динамическое поведение трубопровода при действии внутреннего ударного давления рассмотрено в [8]. Нелинейной пространственной динамике изгиба трубопровода, транспорти-

рующего сплошную среду, посвящена работа [9]. На основе изгибо-вращательной модели в [10, 11] изучены пространственные колебания трубопровода в внешней сплошной среде под действием переменного внутреннего давления. Рассмотрены периодические и непериодические колебания трубы. В [12] определены численные значения присоединенных масс в зависимости от относительного расстояния между свободной поверхностью воды и верхней частью трубопровода. Влияние перетекания газожидкостной смеси в поперечных сечениях трубопровода на его нелинейные колебания в одной плоскости изучалось в [13].

Цель настоящей статьи состоит в исследовании влияния присоединенной массы газожидкостной среды цилиндрической формы течения на пространственные колебания трубопровода с вибрирующими опорами.

Постановка задачи. Рассматриваются пространственные колебания участка кругового цилиндрического трубопровода с заключенной в нем газожидкостной средой относительно прямой, проходящей через опоры (рис. 1). Труба с внутренним радиусом R , толщиной h стенки и массой m прикреплена к опорам с помощью идеальных сферических шарниров. Расстояние \bar{L} между концевыми сечениями трубопровода сохраняется неизменным. Учитываются взаимодействия внутреннего давления и кривизны осевой линии, продольной и поперечной деформаций трубы. Предполагается, что транспортируемая среда в поперечном сечении имеет кольцевую форму течения: газовая фаза кругового сечения радиуса R_1 движется внутри жидкой круговой цилиндрической фазы, контактирующей с внутренней поверхностью трубопровода. При этом скоростной напор считается малым по сравнению с постоянным внутренним давлением p_1 . Пренебрегается действиями сил трения потока и продольных сил инерции трубы. Кроме того, малыми предполагаются деформации кручения, которые связаны с выходом оси трубы из плоскости изгиба. В начальном положении трубопровод, изогнутый силами гравитации и внутреннего давления, находится в покое. В момент времени $t = 0$ опоры начинают совершать поступательные вибрационные движения $s(t)$, направленные перпендикулярно плоскости рисунка. Далее происходит установление пространственных колебаний трубопровода. Для их исследования используется изгибо-вращательная модель [9]. В ней пространственные колебания трубы рассматриваются как совокупность относительных изгибных перемещений $w_*(x, t)$ в одной плоскости, переносных угловых поворотов $\theta(t)$ плоскости изгиба и поступательных движений $s(t)$ опор.

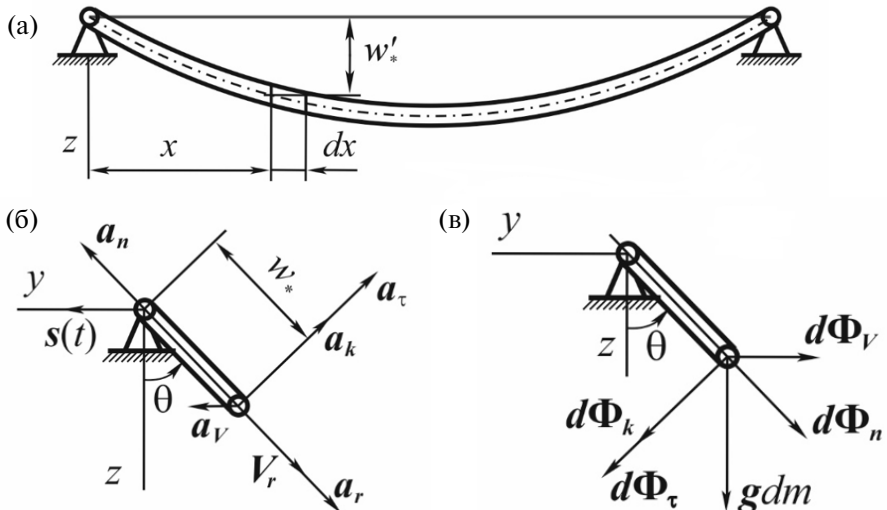


Рис. 1. Расчетная схема трубопровода.

Расчетная схема трубопровода представлена на рис. 1. Рисунок состоит из трех фрагментов: на фрагменте (рис. 1а) изображены элемент трубопровода длиной dx и проекция $w' = w \cos \theta$ его прогиба на вертикальную плоскость xOz ; на фрагменте (рис. 1б) — кориолисово \mathbf{a}_c , относительное \mathbf{a}_r , переносные вибрационное \mathbf{a}_v , касательное \mathbf{a}_τ и нормальное \mathbf{a}_n ускорения; на фрагменте (рис. 1в) — гравитационная сила $d\mathbf{P}$ и силы инерции элемента: $d\Phi_c$, $d\Phi_r$, $d\Phi_v$, $d\Phi_\tau$, $d\Phi_n$ — Кориолиса, относительная, переносные вибрационная, касательная и нормальная. Приведенные в [9] выражения ускорений элемента трубопровода массы dm и действующих на него сил имеют вид

$$\begin{aligned} a_c &= 2\dot{\theta}\dot{w}_*, \quad a_r = \ddot{w}_*, \quad a_V = \ddot{s}, \quad a_\tau = w_*\ddot{\theta}, \quad a_n = w_*\dot{\theta}^2, \quad d\Phi_c = a_c dm, \quad d\Phi_r = a_r dm, \\ d\Phi_V &= a_V dm, \quad d\Phi_\tau = a_\tau dm, \quad d\Phi_n = a_n dm, \quad dm = m_1 dx, \quad m_1 = \rho F + \eta(\rho_1 F_1 + \rho_2 F_2), \end{aligned}$$

$$F = \pi \left[(R + h)^2 - R^2 \right], \quad F_1 = \pi R_1^2, \quad F_0 = \pi R^2, \quad F_2 = F_0 - F_1, \quad (1)$$

$$\eta = \frac{\rho_2 [\rho_1 + \rho_2 - (\rho_2 - \rho_1)\zeta]}{[\rho_1 + \rho_2 + (\rho_2 - \rho_1)\zeta][\rho_2 - (\rho_2 - \rho_1)\zeta]}, \quad \zeta = \frac{R_1^2}{R^2}.$$

Здесь и далее точки над буквами обозначают производные по времени; ρ , ρ_1 , ρ_2 — плотности материала трубы, газовой и жидкой фаз транспортируемой среды; параметр ζ определяет объем газа, содержащегося в общем объеме транспортируемой газожидкостной среды; m_1 — эффективная масса трубопровода единичной длины с заключенной в нем газожидкостной смесью; η — коэффициент, учитывающий перетекание частиц жидкой фазы в поперечных сечениях ускоренно движущейся трубы [14].

Движение тела, частично заполненного жидкой или газожидкостной средой, с переменной скоростью может вызвать возмущенные движения частиц среды. Эти возмущенные движения частиц в свою очередь могут изменить как поле сил давления среды на контактной поверхности трубы, так и ее динамические характеристики (эффективную массу, собственные частоты колебаний, деформации трубы). Подобное явление, в частности, будет иметь место при плоских поперечных вибрациях оси трубопровода, транспортирующего двухфазную газожидкостную среду цилиндрической формы течения. При этом, если считать, что транспортируемая среда сохраняет свою цилиндрическую форму и течет только в продольном направлении, то ускорения центров масс элементов трубы и содержащейся в ней среды будут геометрически равными. Тогда по теореме о движении центра масс механической системы трубопровод — газожидкостная среда проекция равнодействующей силы со-противления среды на трубопровод равна взятому со знаком минус произведению массы этой среды на ускорение центра масс системы. При одновременном продольном и поперечном течениях газожидкостной смеси в трубе, когда действие внешних сил на систему остается неизменным, перетекание частиц в поперечных сечениях происходит в сторону, противоположную направлению ускорения трубопровода. Поэтому модуль ускорения элемента газожидкостной среды уменьшается, а модуль ускорения элемента трубы увеличивается. В результате проекция равнодействующей силы сопротивления среды движению трубопровода уменьшается. Выражение проекции этой силы получено в [14] и имеет вид

$$\Phi_z = -\eta(\rho_1 F_1 + \rho_2 F_2) a. \quad (2)$$

В случае $\rho_1 \ll \rho_2$, из (2) следует $\eta = (1+\zeta)^{-1}$. Кроме того, при значениях параметра $\zeta = 0, 1$ и плотностей $\rho_1, \rho_2 \neq 0$ коэффициент $\eta = 1$. В первом случае труба полностью заполнена только жидкостью, а во втором — газом. При $0 < \zeta < 1$ величина коэффициента η меньше единицы, т.е. в случае заполнения трубы двухфазной газожидкост-

ной средой отмеченное выше перетекание частиц всегда имеет место. По аналогии с выражением проекции силы сопротивления окружающей среды на трубу коэффициент $\eta(\rho_1 F_1 + \rho_2 F_2)$ при ускорении a в (2) можно назвать эффективной внутренней присоединенной массой транспортируемой среды. Таким образом, в отсутствии сил сопротивления окружающей среды эффективная масса трубопровода равна сумме его массы и эффективной внутренней присоединенной массы газожидкостной среды.

Дифференциальное уравнение вращений трубы вокруг прямой, проходящей через опоры, запишется как [15]

$$\begin{aligned} -\int_{(m)} w_* \sin \theta dP - J_p \ddot{\theta} - \int_{(m)} w_* d\Phi_\tau - \int_{(m)} w_* d\Phi_c + \int_{(m)} w_* \cos \theta d\Phi_V = 0, \\ J_p = 2\rho LJ, 4J = \pi \left[(R + h)^4 - R^4 \right], dP = m_{10} g dx, m_{10} = \rho F + \rho_1 F_1 + \rho_2 F_2. \end{aligned} \quad (3)$$

Изгибные колебания трубы в одной плоскости описываются дифференциальным уравнением [8]

$$\begin{aligned} \ddot{w}_* dm = -EJ \frac{\partial^4 w_*}{\partial x^4} dx - \left[F_0 p_1 (1 - 2\nu) - \alpha \int_0^L \left(\frac{\partial w_*}{\partial x} \right)^2 dx \right] \frac{\partial^2 w_*}{\partial x^2} dx + m_{10} g \cos \theta dx + \\ + d\Phi_n + d\Phi_V \sin \theta, \quad \alpha = \pi E h R L^{-1}, \end{aligned} \quad (4)$$

где E, ν — модуль Юнга и коэффициент Пуассона материала трубы.

Аппроксимирующая функция прогиба, которая удовлетворяет условиям шарнирного крепления трубы к опорам, принимается по первой основной форме

$$w_* = [W_0 + w(t)] \sin \beta x, \quad \beta = \pi L^{-1}, \quad (5)$$

где $W_0, w(t)$ — амплитуды статической и динамической составляющих прогиба средней точки пролета.

Вибрационные движения обеих опор происходят с равными амплитудами s_0 , частотами f , нулевыми фазами и задаются в виде

$$s = s_0 \sin \Omega t, \quad \Omega = 2\pi f. \quad (6)$$

Метод решения. Подставляя функции (5), (6) в уравнения (3), (4) и применяя в последнем метод Бубнова—Галеркина, получаем

$$\begin{aligned} \ddot{\theta} \left[(W_0 + w)^2 + \frac{4\rho J}{m_1} \right] + 2 \left[\frac{2}{\pi} \left(\frac{m_{10}}{m_1} g \sin \theta + s_0 \Omega^2 \sin \Omega t \cos \theta \right) + \dot{\theta} \dot{w} \right] (W_0 + w) = 0, \\ \ddot{w} + \frac{\beta^4 E J}{m_1} (W_0 + w) = \frac{4}{\pi} \left(\frac{m_{10}}{m_1} g \cos \theta - s_0 \Omega^2 \sin \Omega t \sin \theta \right) + (W_0 + w) \dot{\theta}^2 + \\ + \frac{\beta^2}{m_1} \left[F_0 (1 - 2\nu) p_1 - \frac{\alpha \beta^2 L}{2} (W_0 + w)^2 \right] (W_0 + w). \end{aligned} \quad (7)$$

Начальные условия для системы дифференциальных уравнений (7) имеют вид

$$\theta = 0, \quad \dot{\theta} = 0, \quad w = 0, \quad \dot{w} = 0 \quad (t=0). \quad (8)$$

Для определения статической составляющей прогиба W_0 во втором уравнении системы (7) полагаем $\theta(t) \equiv 0, w(t) \equiv 0, s_0 = 0$. В итоге получаем

$$\frac{\alpha \beta^4 L}{2} W_0^3 + \beta^4 E J (1 - p) W_0 - \frac{4m_{10}g}{\pi} = 0, \quad p = \frac{p_1}{p_*}, \quad p_* = \frac{\beta^2 E J}{F_0 (1 - 2\nu)}. \quad (9)$$

В настоящей статье решение (9) определялось численно с применением математического пакета Maple.

Нелинейная задача Коши (7) с нулевыми начальными условиями (8) решается численно методом Рунге–Кутта.

Принимая приближения

$$(W_0 + w)^2 \approx W_0^2, \sin \theta \approx \theta, \cos \theta \approx 1, \quad (10)$$

линеаризуем уравнения (7) относительно переменных $w(t), \theta(t)$. После несложных преобразований имеем следующую систему уравнений:

$$\begin{aligned} \ddot{\theta} + k_2^2 \theta &= -\frac{s_0 \Omega^2 k_2^2}{g} \sin \Omega t, \quad \ddot{w} + k_1^2 w = -\frac{4s_0 \Omega^2}{\pi} \theta \sin \Omega t, \\ k_1^2 &= \frac{\beta^4}{m_1} \left[EJ(1-p) + 3 \frac{\alpha L}{2} W_0^2 \right], \quad k_2^2 = \frac{4m_{10}gW_0}{\pi(m_1 W_0^2 + 4\rho J)}, \end{aligned} \quad (11)$$

где k_1, k_2 — собственные частоты колебаний трубы.

Из (11) можно также определить значения собственных частот изгибных k_{10} и угловых k_{20} колебаний без учета перетекания частиц жидкости в поперечных сечениях трубы. Для этого значение единичной эффективной массы m_1 (1) трубы следует заменить значением m_{10} (3).

Нерезонансное решение (11) с начальными условиями (8) имеет вид [15]

$$\begin{aligned} \theta(t) &= \delta \left(\frac{\Omega}{k_2} \sin k_2 t - \sin \Omega t \right), \quad w(t) = \frac{2\delta s_0 \Omega^2}{\pi} \left\{ \frac{1 - \cos k_1 t}{k_1^2} + \frac{\cos k_1 t - \cos 2\Omega t}{k_1^2 - 4\Omega^2} + \right. \\ &\quad \left. + \frac{\Omega}{k_2} \left[\frac{\cos(\Omega + k_2)t - \cos k_1 t}{k_1^2 - (\Omega + k_2)^2} - \frac{\cos(\Omega - k_2)t - \cos k_1 t}{k_1^2 - (\Omega - k_2)^2} \right] \right\}, \\ \delta &= \frac{s_0 \Omega^2 k_2^2}{g(k_2^2 - \Omega^2)}, \quad k_2 \neq \Omega, \quad k_1 \neq 2\Omega, \quad k_1 \neq \Omega + k_2, \quad k_1 \neq \Omega - k_2. \end{aligned} \quad (12)$$

Входные параметры. Единицы измерения переменных. Программа вычислений для ЭВМ, составленная авторами, основана на применении математического пакета Maple. С ее помощью определяются искомые величины и строятся необходимые для анализа графические зависимости. Числовые расчеты проводились для стальной, титановой и композитной труб с размерами: $L = 4.5$ м, $R = 0.05$ м, $h = 0.002$ м. Механические характеристики и плотности материалов труб принимали следующие значения. Стальная труба: $E = 2 \cdot 10^5$ МПа, $\nu = 0.3$, $\rho = 7800$ кг/м³. Титановая труба: $E = 1.18 \cdot 10^5$ МПа, $\nu = 0.35$, $\rho = 4500$ кг/м³. Композитная труба (эффективные характеристики): $E = 0.433 \cdot 10^5$ МПа, $\nu = 0.4$, $\rho = 2000$ кг/м³. Гравитационное ускорение: $g = 9.81$ м/с². Частота и относительная амплитуда колебаний опор: $f = 20$ Гц, $s_0/R = 0.02$. Газовая и жидккая фазы транспортируемого продукта — соответственно метан и жидкость с плотностями $\rho_1 = 0.717$ кг/м³ и $\rho_2 = \gamma \rho_0$, где $\rho_0 = 1000$ кг/м³ — плотность воды. Внутренние давления p_0 в трубах принимались равными 3, 9 МПа. Результаты вычислений в виде графических зависимостей приведены на рис. 2–5. Переменные на графиках измеряются: время t — в секундах (с), статический и динамический прогибы W_0, w — в метрах (м), угол — в радианах (рад), частота f — в Герцах (Гц).

Зависимость собственных частот изгибных и угловых колебаний труб от плотностей и объемных частей газовой и жидкой фаз. Практический интерес представляют значения отношений собственных частот изгибных f_1/f_{10} и угловых f_2/f_{20} колебаний,

полученных с учетом и без учета движений частиц жидкости в поперечных сечениях трубы. Эти отношения определяются из выражений (11) для квадратов циклических частот изгибных и угловых колебаний. Имеем

$$\frac{f_1}{f_{10}} = \sqrt{\frac{m_{10}}{m_1}}, \quad \frac{f_2}{f_{20}} = \sqrt{\frac{m_{10}W_0^2 + 4\rho J}{m_1W_0^2 + 4\rho J}}, \quad f_1 = \frac{k_1}{2\pi}, \quad f_{10} = \frac{k_{10}}{2\pi}, \quad f_2 = \frac{k_2}{2\pi}, \quad f_{20} = \frac{k_{20}}{2\pi}. \quad (13)$$

Из (13) видно, что отношение f_1/f_{10} собственных частот изгибных колебаний равно корню квадратному из отношения невозмущенной и эффективной масс смеси. Можно также видеть, что отношение f_2/f_{20} собственных частот угловых колебаний имеет более сложный вид: в общем случае оно зависит не только от значений масс m_{10} , m_1 , но и от величины w_0 статической составляющей прогиба средней точки пролета трубопровода. Графические зависимости указанных отношений частот от относительной плотности $\gamma = \rho_2/\rho_0$ жидкой фазы при $p_0 = 9$ МПа, $\zeta = 0.81$, приведены на рис. 2, а от отношения ζ объема газовой фазы к общему объему транспортируемой среды — на рис. 3.

Из рис. 2, 3 видно, что на всех графиках сплошная 1, штриховая 2 и штрихпунктирная 3 линии в перечисленном порядке расположены одна над другой. Такая

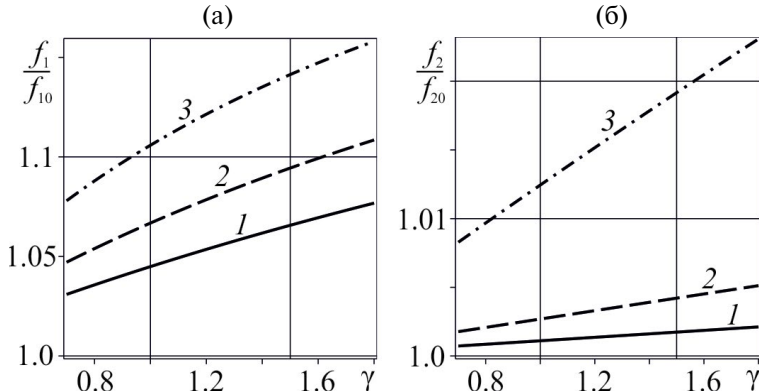


Рис. 2. Зависимости отношений собственных частот изгибных f_1/f_{10} (а) и угловых f_2/f_{20} (б) колебаний труб от относительной плотности $\gamma = \rho_2/\rho_0$ жидкой фазы:
1 — стальная, 2 — титановая, 3 — композитная трубы.

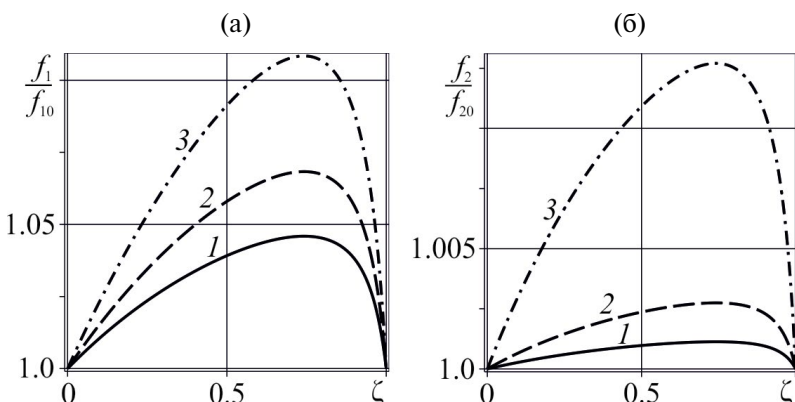


Рис. 3. Зависимости отношений собственных частот изгибных f_1/f_{10} (а) и угловых f_2/f_{20} (б) колебаний труб от параметра $\zeta = R_1^2/R^2$: 1 — стальная, 2 — титановая, 3 — композитная трубы.

закономерность объясняется различием масс стальной, титановой и композитной труб. Кроме того, можно видеть (рис. 2), что с увеличением относительной плотности γ жидкой фазы среды отношения собственных частот изгибных f_1/f_{10} и угловых f_2/f_{20} колебаний трубы растут.

При увеличении относительной плотности γ жидкой фазы от значений 0.7 до 1.8 рост указанных отношений частот для стальной, титановой, композитной труб соответственно равен: 4.7 и 0.02%, 6.1 и 0.04%, 8.0 и 0.26%. Графические зависимости отношений f_1/f_{10} и f_2/f_{20} от параметра ζ , представленные на рис. 3, имеют следующие отличия от кривых предыдущего рис. 2. Во-первых, отношения частот f_1/f_{10} и f_2/f_{20} равны единице: эти два значения параметра ζ соответствуют заполнению труб только жидкостью или газом. Во-вторых, все кривые на рис. 3 имеют максимумы. Максимальные приращения отношений f_1/f_{10} и f_2/f_{20} для стальной, титановой и композитной труб соответственно равны: 7.66 и 0.03%, 10.8 и 0.095%, 15.8 и 0.72%. Обобщая отмеченные результаты, можно сделать вывод о том, что при принятых входных данных собственные частоты колебаний труб зависят как от их материалов, так и от плотностей и объемов газовой и жидкой частей транспортируемой среды. При этом, если собственные частоты угловых колебаний изменяются незначительно, то изменения собственных частот изгибных колебаний труб могут быть значительными.

Пространственные колебания труб с учетом влияния эффективной присоединенной массы транспортируемой среды, внутреннего давления и вибраций опор. Графические зависимости угловых θ и относительных изгибных w/R перемещений от времени t для значения $s_0/R = 0.02$ относительной амплитуды вибраций опор с частотой $f = 20$ Гц приведены на рис. 4, 5. При этом наибольшие величины вибрационных ускорений опор равны 15.8 м/с^2 . На графиках сплошными линиями представлены результаты решения задачи Коши (7), (8) численным методом Рунге–Кutta, а пунктирными — вычислений по решениям (12) линеаризованных уравнений (11) в отрезке времени $1.0 \leq t \leq 4.0$ с. На рис. 4, 5 строки графиков сверху вниз соответствуют давлениям $p_0 = 3.0, 9.0$ МПа в транспортируемой среде, а столбцы (а), (б), (в) графиков — к стальному, титановому и композитному трубопроводам. Для этих давлений значения собственных частот изгибных f_1 (f_{10}) и угловых f_2 (f_{20}) колебаний (Гц) труб представлены в табл. 1.

Таблица 1. Собственные частоты изгибных и угловых колебаний труб

Материал трубы	p^* , МПа	p_0 , МПа	f_1 , Гц	f_{10} , Гц	f_2 , Гц	f_{20} , Гц
Сталь	25.9	3	12.19	11.59	0.4360	0.4360
		9	10.22	9.784	0.5277	0.5276
Титановый сплав	19.3	3	11.10	10.29	0.5338	0.5337
		9	8.558	8.022	0.7080	0.7077
Стекловолокно	11.2	3	8.471	7.486	0.8854	0.8840
		9	5.628	5.090	1.5537	1.5347

Из сравнительного анализа числовых значений собственных частот, приведенных в табл. 1, а также соответствующих строк и столбцов графиков на рис. 4 и 5 можно отметить следующее. С увеличением внутреннего давления происходит уменьшение собственных частот изгибных колебаний труб. При этом собственные частоты угловых колебаний труб увеличиваются. Сказанное в большей степени относится к композитной трубе. Можно также констатировать уменьшение разницы между результатами численного моделирования и приближенного аналитического решения

как угловых, так и изгибных колебаний труб. Следует подчеркнуть, что последнее утверждение находится в полном согласии с первым из приближений (10). Кроме

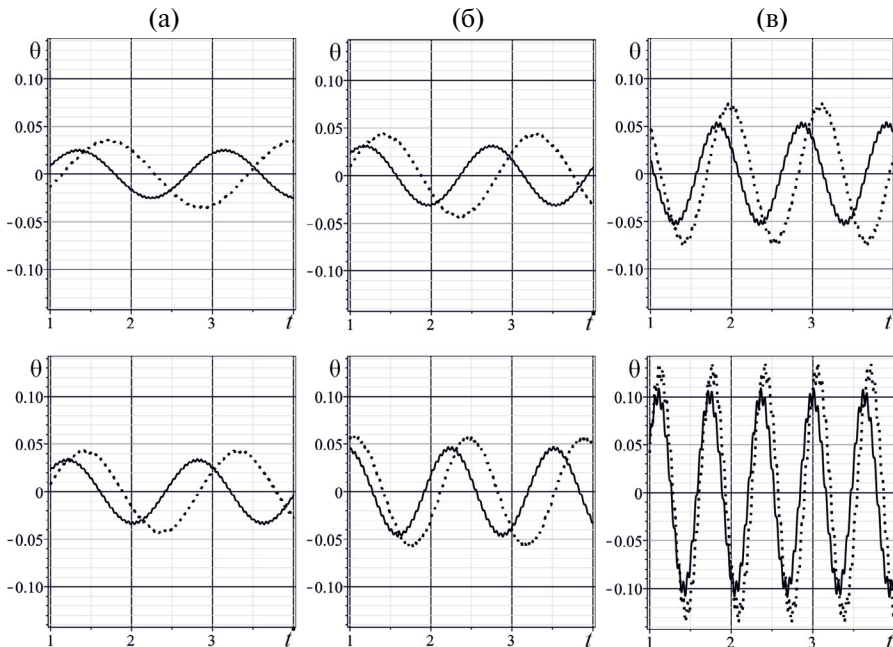


Рис. 4. Зависимости угла θ от времени t стальной, титановой и композитной труб (столбцы (а), (б) и (в)) при $s_0/R = 0.02$, $f = 20$ Гц, $p_0 = 3$ МПа (верхняя строка), $p_0 = 9$ МПа (нижняя строка).

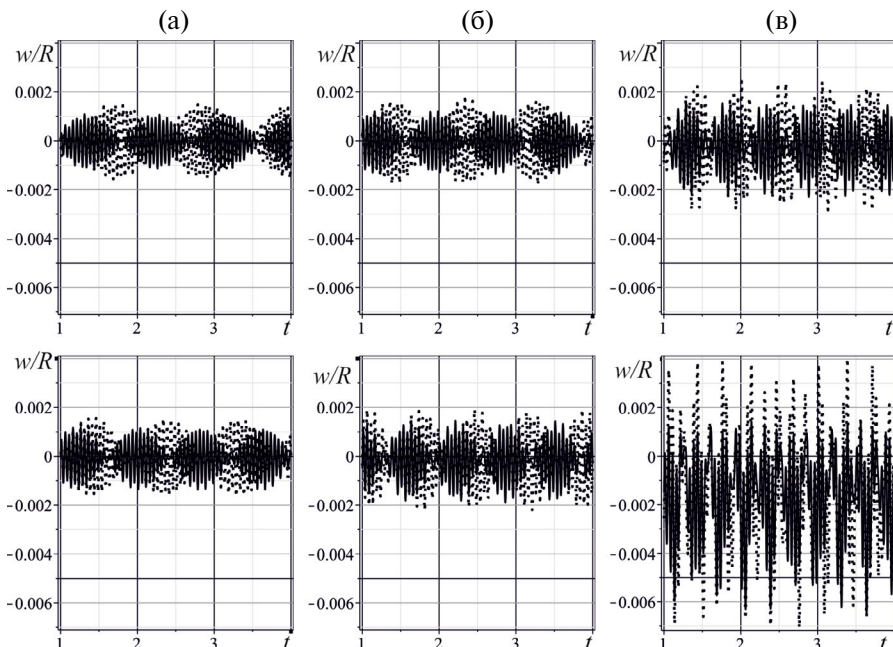


Рис. 5. Зависимости отношения w/R от времени t стальной, титановой и композитной труб (столбцы (а), (б) и (в)) при $s_0/R = 0.02$, $f = 20$ Гц, $p_0 = 3$ МПа (верхняя строка), $p_0 = 9$ МПа (нижняя строка).

того, из результатов вычислений также следует, что с увеличением амплитуды вибраций опор увеличиваются и амплитуды как угловых, так и изгибных колебаний труб.

Заключение. Исследование нелинейных пространственных колебаний участка трубопровода с вибрирующими опорами прежде всего имеет практический интерес. При этом применение изгибно-вращательной математической модели динамики трубопровода значительно упрощает задачу. Рассмотренная в работе транспортировка двухфазной газожидкостной смеси цилиндрической формы течения позволяет сформулировать следующие выводы.

Построены графические зависимости отношений f_1/f_{10} и f_2/f_{20} от объемного со-держания ζ газовой и относительной плотности γ жидкой фазы транспортируемой среды. С увеличением γ отношения частот увеличиваются, а с увеличением ζ — сначала увеличиваются, достигают максимума и далее уменьшаются до единицы.

Показано, что при одном и том же внутреннем давлении собственные частоты изгибных колебаний, полученные с учетом и без учета перетекания частиц жидкости в поперечных сечениях труб, отличаются значительно. При этом собственные частоты угловых колебаний труб практически остаются неизменными.

Установлено, что с увеличением внутреннего давления происходит уменьшение собственных частот изгибных колебаний стальной, титановой и композитной труб. В этом случае собственные частоты угловых колебаний труб увеличиваются.

Финансирование работы. Исследование выполнено за счет гранта Российского научного фонда № 24-21-00106, <https://rscf.ru/project/24-21-00106/>

Благодарности. Авторы выражают благодарность М. А. Ильгамову за обсуждение работы.

Конфликт интересов. Авторы заявляют, что у них нет конфликта интересов.

СПИСОК ЛИТЕРАТУРЫ

1. Ильгамов М. А. Колебания упругих оболочек, содержащих жидкость и газ. М.: Наука, 1969. 184 с.
2. Светлицкий В. А. Механика трубопроводов и шлангов. М.: Машиностроение, 1982. 280 с.
3. Ганиев Р. Ф., Низамов Х. Н., Дербуков Е. И. Волновая стабилизация и предупреждение аварий в трубопроводах. М.: Изд-во МГТУ, 1996. 258 с.
4. Ганиев Р. Ф. Нелинейные резонансы и катастрофы. Надежность, безопасность и бесшумность. М.: НИЦ «Регулярная и хаотическая динамика», 2013. 592 с.
5. Li S., Karney B. W., Liu G. FSI research in pipeline systems – A review of the literature // J. of Fluids and Structures. 2015. V. 57. P. 277–297.
6. Шакирьянов М. М. Обзор исследований лаборатории МТТ за 2020–2022 годы // Многофазные системы. 2022. Т. 17. № 1. С. 63–73.
7. Серегин С. В. Влияние присоединенной массы на динамические характеристики тонкой оболочки // Проблемы машиностроения и автоматизации. 2015. № 4. С. 83–89.
8. Ильгамов М. А. Динамика трубопровода при действии внутреннего ударного давления // Изв. РАН, МТТ. 2017. № 6. С. 83–96.
9. Ганиев Р. Ф., Ильгамов М. А., Хакимов А. Г., Шакирьянов М. М. Пространственные колебания трубопровода в сплошной среде под действием переменного внутреннего давления // Проблемы машиностроения и надежности машин. 2016. № 6. С. 3–13.
10. Luczko J., Czerwiński A. Nonlinear three-dimensional dynamics of flexible pipes conveying fluids // J. of Fluids and Structures. 2017. V. 70. P. 235–260.
11. Ганиев Р. Ф., Ильгамов М. А., Хакимов А. Г., Шакирьянов М. М. Пространственные непериодические колебания трубопровода под действием переменного внутреннего давления // Проблемы машиностроения и надежности машин. 2017. № 2. С. 3–12.
12. Филиппова В. Р. Автоматизированный расчет величины присоединенной массы жидкости при колебаниях трубопровода подводного перехода нефтепровода // Вестник науки и образования. 2020. № 15–2 (93). С. 5–8.

13. *Shakiryanov M. M., Yulmukhametov A. A.* Effect of an internal attached mass on nonlinear pipeline oscillations // J. Mach. Manuf. Reliab. 2020. V. 49 (9). P. 749–756.
14. *Шакирьянов М. М., Юлмухаметов А. А.* Внешняя и внутренняя присоединенные массы трубопровода // Известия Уфимского научного центра РАН. 2020. № 3. С. 12–16.
15. *Утяшев И. М., Шакирьянов М. М.* Пространственные колебания трубопровода с вибрирующими опорами // Изв. РАН. МТТ. 2023. № 4. С. 38–52.